

**ОБРАЗОВАНИЕ МЕТАСТАБИЛЬНОГО СОСТОЯНИЯ ЖИДКОЙ ФАЗЫ  
В ПРОЦЕССЕ НАНОСЕКУНДНОГО ЛАЗЕРНОГО ВОЗДЕЙСТВИЯ  
НА АНТИМОНИД ГАЛЛИЯ**

М.Ю.Аверьянова, Ж.И.Алферов, С.Ю.Карпов,  
Ю.В.Ковальчук, В.Е.Мячин, Ю.В.Погорельский,  
И.А.Соколов, Г.А.Фокин

В процессе наносекундного лазерного воздействия обнаружено образование метастабильного и стабильного состояний жидкого GaSb. Оптические свойства стабильного состояния соответствуют оптическим свойствам равновесного расплава GaSb.

В данной статье сообщается об образовании на временах  $\sim 10^{-8}$  с двух состояний жидкого GaSb: метастабильного вблизи температуры плавления полупроводника и стабильного при более высоких температурах. Исследование процесса плавления GaSb осуществлялось с помощью регистрации изменения коэффициента отражения (КО) света, зондирующего поверхность полупроводника, во время лазерного воздействия.

Известно, что полупроводники IV группы и соединения  $A^3B^5$  в жидком состоянии являются металлами. Резкий подъем КО зондирующего света позволяет в динамике фиксировать момент их плавления. При плотностях энергии воздействующего импульса, достаточных для полного плавления приповерхностного слоя Si, Ge и GaAs, КО выходит на стационарное значение <sup>1, 2</sup>. Экспериментально установлено, что для Si и Ge это значение соответствует уровню отражения от расплава, образовавшегося в равновесных условиях <sup>1, 3, 4</sup>.

Облучение кристаллического GaAs (111) производилось импульсами YAG : Nd<sup>3+</sup> лазера ( $\tau = 25$  нс,  $\lambda = 532$  нм) с гауссовым профилем интенсивности в сечении пучка. Зондирование поверхности полупроводника осуществлялось непрерывным Не–Не-лазером ( $\lambda = 1,15$  мкм и  $0,63$  мкм). Соотношение диаметров зондируемой и облучаемой областей составляло  $\sim 1 : 20$ . Временное разрешение измерительной системы  $\sim 1$  нс.

В эксперименте регистрировалась времененная зависимость КО зондирующего света  $R(t)$  при различных плотностях энергии лазерного импульса. На рис. 1 показана зависимость максимального значения КО от плотности энергии  $E$  для  $\lambda = 1,15$  мкм. При зондировании с  $\lambda = 0,63$  мкм зависимость  $R(E)$  носит аналогичный характер. Подъем КО в интервале  $E = 0,065 \div 0,15$  Дж/см<sup>2</sup> ( $E = 0,065$  Дж/см<sup>2</sup> – порог плавления GaSb) связан с увеличением доли жидкой фазы в частично расплавленном приповерхностном слое полупроводника при возрастании плотности энергии воздействия. При  $E > 0,15$  Дж/см<sup>2</sup>, когда приповерхностный слой плавится полностью, регистрируются два различных уровня отражения от расплава GaSb. В интервале  $E = 0,15 \div 0,19$  Дж/см<sup>2</sup> величина КО достигает значения 0,83; дальнейшее увеличение плотности энергии приводит к скачкообразному изменению КО до значения 0,76.

Таким образом, GaSb в жидком состоянии ведет себя иначе чем Si и Ge, GaAs, у которых на временах  $\sim 10^{-8}$  с регистрируется только одно состояние жидкой фазы. Следует отметить, что поведение оптических свойств расплава, аналогичное описанному, наблюдалось при наносекундном лазерном воздействии на InP <sup>5</sup> – см. ниже.

Чтобы выяснить причины появления двух уровней отражения у жидкого GaSb, сравним оптические свойства расплава этого полупроводника в динамике и в равновесных условиях. Прямые данные об оптических характеристиках равновесного расплава GaSb отсутствуют. Однако их можно восстановить на основе результатов, полученных при исследовании электропроводности GaSb в жидком состоянии <sup>6</sup>.

Известно, что электрические и оптические свойства расплавленных Si и Ge хорошо описываются моделью Друде <sup>3, 4</sup>). Согласно <sup>6</sup> концентрация электронов в жидкых Si, Ge и

$A^3B^5$  близка к четырем на атом. В этом случае, зная электропроводность и плотность жидкого полупроводника <sup>6</sup>, можно определить соответствующие значения плазменной частоты  $\omega_p$  и времени релаксации импульса  $\tau$ , а затем рассчитать диэлектрическую проницаемость и КО зондирующего света от поверхности расплава. Для жидкого арсенида галлия такая процедура дает значения КО, с точностью до 2% совпадающие с экспериментально найденным в работе <sup>2</sup>. В случае антимонида галлия определенные таким образом значения  $\omega_p$  и  $\tau$  составляют:  $\omega_p = 2,20 \cdot 10^{16} \text{ с}^{-1}$ ,  $\tau = 2,48 \cdot 10^{-16} \text{ с}$  при температуре плавления ( $T_{\text{пл}}$ ) и  $\omega_p = 2,18 \cdot 10^{16} \text{ с}^{-1}$ ,  $\tau = 2,39 \cdot 10^{-16} \text{ с}$  при температуре на 200 К выше  $T_{\text{пл}}$ .

На рис. 2 представлены рассчитанные спектральные зависимости КО света от жидкого GaSb при  $T = T_{\text{пл}}$  (кривая 1) и  $T = T_{\text{пл}} + 200 \text{ K}$  (кривая 2). Там же показаны экспериментально найденные значения  $R$  при воздействии на GaSb с плотностями энергии  $E = 0,15 \div 0,19 \text{ Дж/см}^2$  и  $E > 0,19 \text{ Дж/см}^2$ . Видно, что величины  $R$  для  $E > 0,19 \text{ Дж/см}^2$  лежат близко к кривым 1, 2. В то же время значения КО для  $E = 0,15 \div 0,19 \text{ Дж/см}^2$  находятся существенно выше этих кривых.

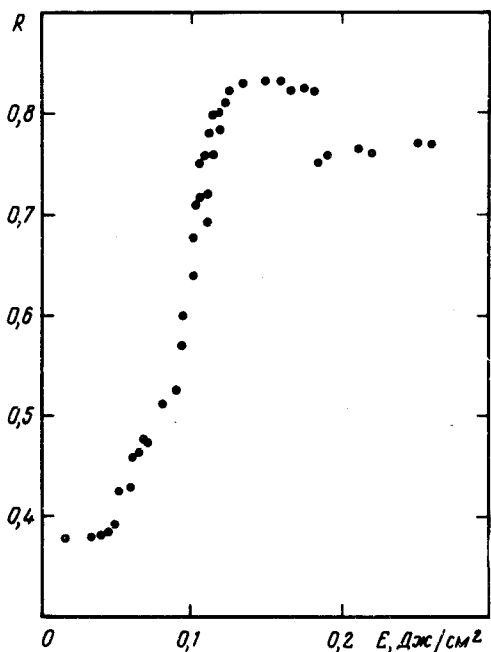


Рис. 1

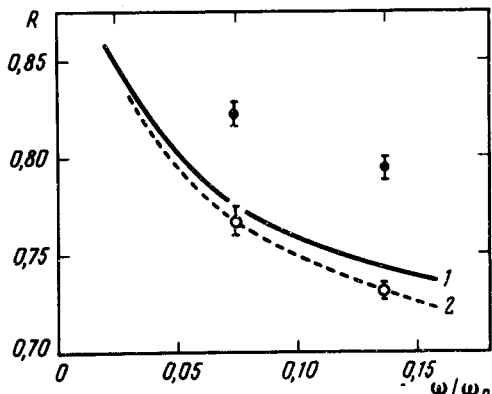


Рис. 2

Рис. 1. Зависимость максимального значения коэффициента отражения антимонида галлия от плотности энергии облучающего импульса. Длина волны зондирования  $\lambda = 1,15 \text{ мкм}$

Рис. 2. Спектральные зависимости коэффициента отражения жидкого антимонида галлия при температуре  $T$ , равной температуре плавления  $T_{\text{пл}}$  (кривая 1) и при  $T = T_{\text{пл}} + 200 \text{ K}$  (кривая 2). Точками показаны экспериментальные значения КО ( $\bullet - E = 0,15 \div 0,19 \text{ Дж/см}^2$ ,  $\circ - E = 0,19 \text{ Дж/см}^2$ )

Наличие двух уровней отражения не связано с интерференционными эффектами и не может быть объяснено уменьшением отражения с ростом температуры жидкой фазы. В каждом из указанных выше энергетических интервалов жидкий GaSb проявляет металлические свойства: отражение увеличивается с ростом длины волны зондирования. Можно показать, что длина поглощения зондирующего света в расплаве GaSb, соответствующая наблюдаемым значениям КО, оказывается существенно меньше длины волны. В этом случае амплитуда интерференционных пиков пренебрежимо мала. Что касается температурной зависимости КО, то величина  $R$  должна плавно уменьшаться по мере роста температуры. В эксперимен-

тже наблюдается скачкообразное уменьшение  $R$  при плотности энергии воздействия  $E = 0,19 \text{ Дж}/\text{см}^2$ , причем в каждом из энергетических интервалов,  $E = 0,15 \div 0,19 \text{ Дж}/\text{см}^2$  и  $E > 0,19 \text{ Дж}/\text{см}^2$ , уровень отражения сохраняется неизменным.

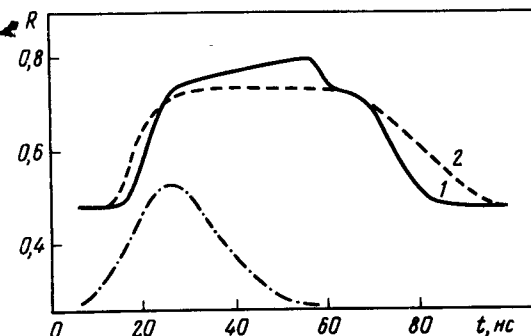


Рис. 3. Зависимость коэффициента отражения от времени в процессе облучения наносекундными лазерными импульсами. Плотность энергии облучения: 1 –  $0,16 \text{ Дж}/\text{см}^2$ , 2 –  $0,19 \text{ Дж}/\text{см}^2$ . Длина волны зондирования  $\lambda = 0,63 \text{ мкм}$

На наш взгляд, наличие двух различных уровней отражения в разных энергетических интервалах связано с существованием на временах  $\sim 10^{-8} \text{ с}$  двух состояний жидкого GaSb. Состояние, наблюдаемое при  $E > 0,19 \text{ Дж}/\text{см}^2$ , по своим оптическим свойствам соответствует расплаву GaSb, полученному в равновесных условиях. Существенное отличие оптических свойств расплава GaSb при  $E = 0,15 \div 0,19 \text{ Дж}/\text{см}^2$  от равновесных приводит к предположению о том, что состояние жидкой фазы в этом интервале плотностей энергии является метастабильным. Для проверки этого предположения мы провели дополнительные исследования динамики отражения в интервале  $E = 0,15 \div 0,19 \text{ Дж}/\text{см}^2$ . Как показали эксперименты, вблизи  $E \approx 0,16 \text{ Дж}/\text{см}^2$  в динамике наблюдается сначала образование состояния расплава с повышенным КО, а затем его переход во времени в состояние с меньшим  $R$  (рис.3, кривая 1). Такое поведение зависимости  $R(t)$  регистрируется на обеих длинах волн зондирования  $\lambda = 0,63$  и  $1,15 \text{ мкм}$ . Наблюденный спад во времени состояния жидкого GaSb с повышенным уровнем отражения прямо свидетельствует о его метастабильном характере.

Как отмечалось выше, два состояния расплава с различными уровнями отражения регистрировались при наносекундном воздействии на InP<sup>5</sup>. Однако, отсутствие данных о свойствах равновесного расплава InP не позволило провести сопоставления оптических характеристик жидкого InP в равновесных условиях и на временах  $\sim 10^{-8} \text{ с}$ .

#### Литература

1. Jellison G.E., Lowndes D.H., Mashburn D.H., Wood R.F. Phys. Rev. B, 1986, **34**, 2407.
2. Lowndes D.H., Wood R.F. Appl. Phys. Lett., 1981, **38**, 971.
3. Шварёв К.М., Баум Б.А., Гельд П.В. ФТТ, 1974, **16**, 3246.
4. Hodgson N. Philos. Mag., 1961, **6**, 509.
5. Васильев А.Н., Карпов С.Ю., Ковальчук Ю.В. и др. Письма в ЖЭТФ, 1986, **12**, 1115.
6. Регель А.Р., Глазов В.М. Закономерности формирования структуры электронных расплавов. М.: Наука, 1982.